

応用電力変換工学

第7回 パワーデバイス

平成20年11月12日

概要

- パワーエレクトロニクスとパワーデバイス
- パワーデバイスの種類と基本構造
- 耐圧設計
- 半導体材料のパワーデバイス性能指標
 - Si, SiC
- パワーダイオードの動向
- パワーMOSFETの動向
- IGBTの動向
- おわりに

パワーデバイスに求められるもの

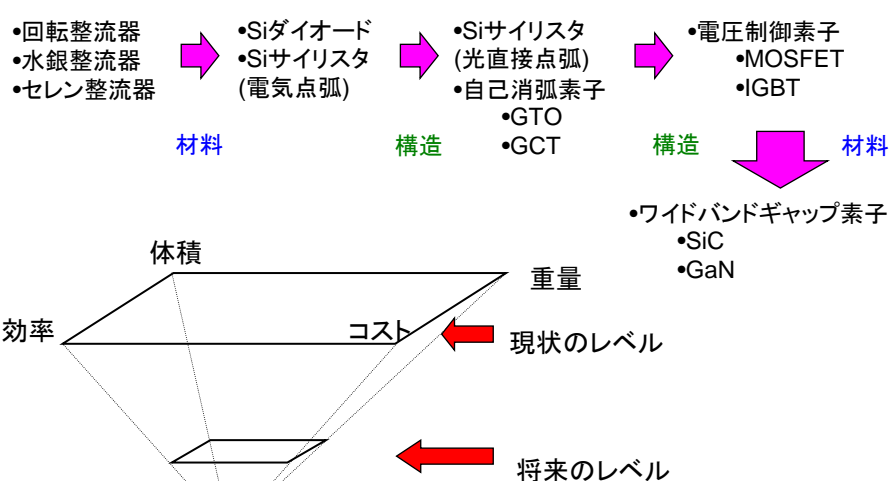
- パワーエレクトロニクス
 - 電気利用範囲の拡大
 - 静止器化
 - 電気駆動化
 - 機能向上
 - 制御・多機能化
 - メンテナンスレス
 - 効率向上
 - スイッチング動作
 - 最適動作点
- パワエレ機器の効率向上
- 適用範囲の拡大
 - 低電圧 → 高電圧
小電流 → 大電流
 - 5,3,3,1.7V → 1500V, 2.5kV, 500kV
 - μ A → kA
 - IT機器電源 → 送配受電機器
- 低コスト化
 - 小型化
 - 高信頼化

2008/11/12

応用電力変換工学

3

パワースイッチングデバイスの変遷



2008/11/12

応用電力変換工学

4

パワースイッチングデバイスの基本構造1

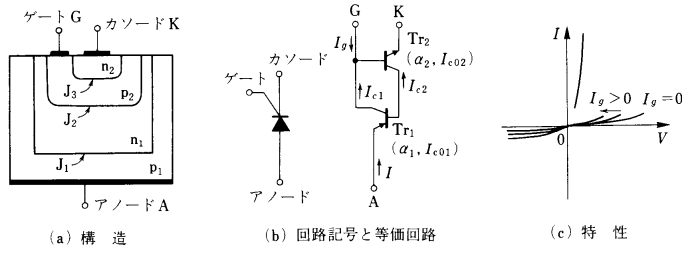


図 8.5 SCR

松波, 吉本,
半導体デバイス,
共立出版より

• サイリスタ

- ターンオン

- 接合J₃を順バイアス
 - 注入された電子が, 高電界のかかっているJ2で加速, なだれ破壊

- ターンオフ

- AK間電圧を小さくする, 電圧の極性を反転

2008/11/12

応用電力変換工学

5

パワースイッチングデバイスの基本構造2

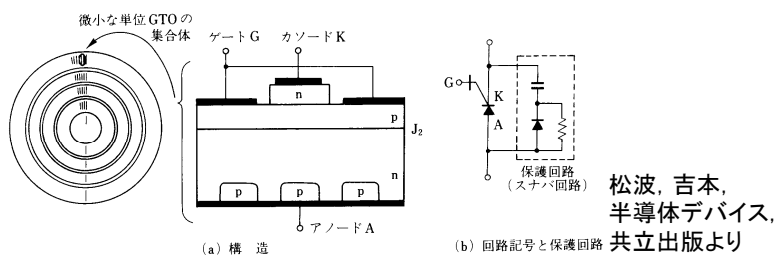


図 8.7 GTO

松波, 吉本,
半導体デバイス,
共立出版より

• GTOサイリスタ

- アノードは短絡エミッタ構造
 - 阻止状態で, 急峻な電圧変化によるターンオンを防ぐ
- オン時はJ₂近傍にキャリアが蓄積
- ターンオフ時にJ₂のキャリアを引き抜く
 - 微細GTOの集合

2008/11/12

応用電力変換工学

6

パワースイッチングデバイスの 基本構造3

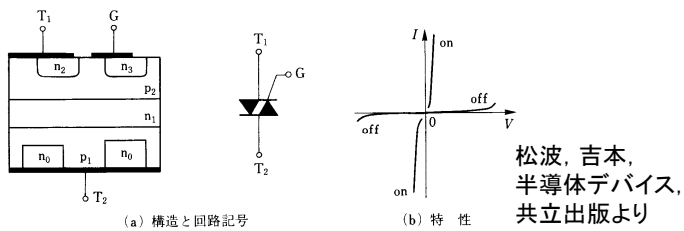


図 8.9 トライアック

• トライアック

– 両方向性の素子

- ゲート電圧が正, 負のどちらでもターンオン
 - $T1 > T2, Vg > 0, p2 \rightarrow n2$ の電流が流れ, サイリスタ動作 $p1n1p2n2$
 - $T1 > T2, Vg < 0, p2 \rightarrow n3$ の電流が流れ, サイリスタ動作 $n3p2n1p1$
 - $T1 < T2, Vg > 0$, トランジスタ $n2p2n1$ の $n2p2$ 順バイアス, $n1$ に電子注入, $p2n1p1n0$ オン
 - $T1 < T2, Vg < 0$, トランジスタ $n3p2n1$ の $n3p2$ 順バイアス, $n1$ に電子注入, $p2n1p1n0$ オン

2008/11/12

応用電力変換工学

7

パワースイッチングデバイスの 基本構造4

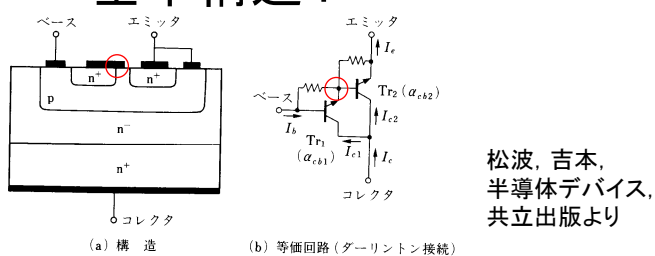


図 8.10 パワートランジスタ

• パワーバイポーラトランジスタ

- パワー用として耐圧, 電流容量, 放熱を向上
 - コレクタ領域不純物濃度を下げ耐圧向上
 - N+層を作りできるだけ低抵抗化
- ダーリントン接続構造 ○部

2008/11/12

応用電力変換工学

8

パワースイッチングデバイスの 基本構造5

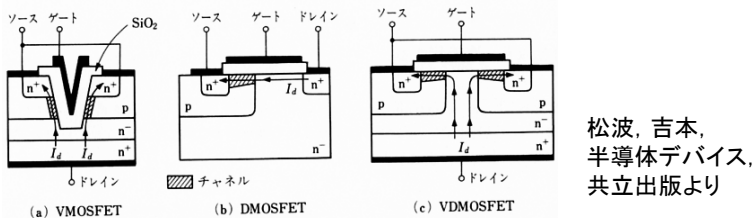


図 8.11 パワー MOSFET

松波, 吉本,
半導体デバイス,
共立出版より

• パワーMOSFET

- 熱暴走しない
- 短チャネル化で抵抗抑制
 - V-shaped grooved MOSFET
 - 二重拡散(double diffused) MOSFET 電流横向き
 - 縦型(vertical DMOSFET) 電流縦向き, 基板全体使用, 大電流化

2008/11/12

応用電力変換工学

9

パワースイッチングデバイスの 基本構造6

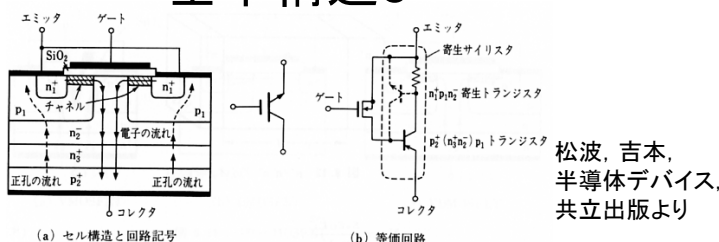


図 8.13 IGBT

松波, 吉本,
半導体デバイス,
共立出版より

• 絶縁ゲートバイポーラトランジスタ(IGBT)

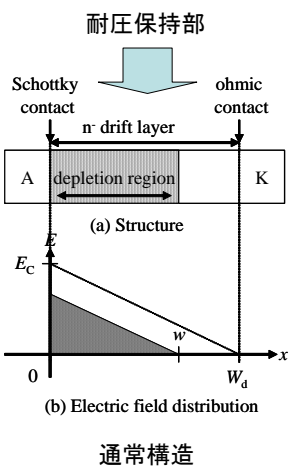
- VDMOSFETのドレインn+と, ドレインの金属電極間にp+領域を形成
- NチャネルMOSFETがバイポーラトランジスタp2+(n3+n2-)p1をオン
 - 少数キャリア注入による抵抗低減
- p2+(n3+n2-)p1n1+に寄生サイリスタ構造を持つ
 - ラッチアップ動作 危険

2008/11/12

応用電力変換工学

10

パワーデバイスの耐圧保持部1



- 電界と電荷分布

- ポアソンの式

$$\frac{d^2V(x)}{dx^2} = \frac{dE(x)}{dx} = -\frac{\rho(x)}{\epsilon_s}$$

- 一様な不純物濃度分布

$$\rho(x) = \text{const} = -eN_d$$

- 電圧分布

$$V(x) = -\frac{eN_d}{2\epsilon_s} (x - w)^2$$

$$w = \sqrt{\frac{2\epsilon_s}{eN_d}} \sqrt{V_{ka}}$$

2008/11/12

応用電力変換工学

11

パワーデバイスの耐圧保持部2

- 耐圧と絶縁破壊電界

$$V_{bd} = \frac{eN_d}{2\epsilon_s} W_d^2 = \frac{\epsilon_s}{2eN_d} E_c^2$$

- 耐圧とオン抵抗

- 耐圧の二乗に比例

$$R_d = \frac{W_d}{\mu eN_d A} = \frac{4V_{bd}^2}{\mu \epsilon_s A E_c^3}$$

- 耐圧と抵抗のトレードオフ

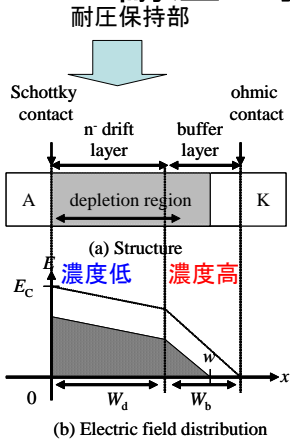
- 不純物濃度減少 → 耐圧上昇 → 抵抗増大
 - 抵抗減少 → 不純物濃度上昇 → 耐圧低下

2008/11/12

応用電力変換工学

12

パンチスルー構造による 耐圧とオン抵抗の改善



2008/11/12

応用電力変換工学

- 電界分布
 - 不純物濃度に依存
- オン抵抗
 - 通常構造の84%
$$R_{d-min} = \frac{27}{8} \frac{V_{bd}^2}{\mu \epsilon_s A E_C^3}$$
- パンチスルー電圧

$$V_{pt-opt} = \frac{e W_d^2}{2 \epsilon_s} \frac{2 \epsilon_s}{e W_d^2} (W_d E_C - V_{bd})$$

$$= W_d E_C - V_{bd} = \frac{1}{2} V_{bd}$$

13

パワーデバイス用途における 半導体材料の性能指標-1

- Johnson figure of merit (JFOM)
 - 低電圧, 低周波トランジスタ向き
$$JFOM = \frac{E_c v_s}{2\pi}$$
 - E_c :絶縁破壊電界, v_s :飽和ドリフト速度
- Keyes figure of merit (KFOM)
 - トランジスタのスイッチ動作における熱的制約を考慮
$$KFOM = \lambda \left[\frac{c v_s}{4\pi\epsilon} \right]^{1/2}$$
 - c :光速, ϵ :半導体の誘電率, λ :熱伝導度

B.J. Baliga, "Power semiconductor device figure of merit for high-frequency applications", IEEE EDL Vol.10, No.10, pp.455-457, 1989.

2008/11/12

応用電力変換工学

14

パワーデバイス用途における半導体材料の性能指標-2

- Baliga figure of merit (BFOM)
 - 導通損を最小化する材料パラメータ

$$BFOM = \varepsilon \mu E_G^3$$

• E_G :半導体のバンドギャップ

- Baliga high frequency figure of merit (BHFFOM)
 - 周波数の次元で表される
 - 高周波スイッチング能力

$$BHFFOM = \frac{1}{R_{on,sp} C_{on,sp}} = f_B$$

• $R_{on,sp}$:固有オン抵抗, $C_{on,sp}$:固有静電容量

B.J. Baliga, "Power semiconductor device figure of merit for high-frequency applications", IEEE EDL Vol.10, No.10, pp.455-457, 1989.

2008/11/12

応用電力変換工学

15

パワーデバイス用途における半導体材料の性能指標-3

表1. ワイドバンドギャップ半導体材料の物性定数
Physical properties of wide band gap semiconductor materials

材 料	ダイヤモンド	GaN	4H-SiC	6H-SiC	3C-SiC	GaAs	Si
バンドギャップ (eV)	5.47	3.39	3.26	2.93	2.23	1.43	1.12
電子移動度 μ_n (cm ² /Vs)	2,200	900	1,000/850	80/400	800	8,500	1,400
正孔移動度 μ_p (cm ² /Vs)	1,600	150	115	90	40	400	600
絶縁破壊電界強度 E_b (V/cm)	1×10^7	3.3×10^6	2.5×10^6	2.8×10^6	1.2×10^6	4.0×10^6	3.0×10^6
熱伝導度 λ (W/cmK)	20	2.0	4.9	4.9	4.9	0.5	1.5
飽和速度 v_{sat} (cm/s)	2.7×10^7	2.7×10^7	2.2×10^7	1.9×10^7	2.0×10^7	2.0×10^7	1.0×10^7
誘電率 ϵ	5.5	9.0	9.7	9.7	9.7	12.8	11.8
パルク成長	△	×→△	△→○	△→○	×→△	○	○
エビ成長	△	×→△	△→○	△→○	×→△	○	○
BM (対 Si)	27,128	653	340	191	30	16	1
BHFM (対 Si)	1,746	78	50	25	9	11	1
デバイスの種類	μエミッタ パワー素子	青色発光素子, 高周波素子, 横型パワー素子	縦型パワー素子	GaN用基板	中容量 パワー素子	高周波素子	全般

GaAs : ガリウム砒素

性能指標: $BM = \epsilon \mu_n E_b^3$, $BHFM = \mu_p E_b^2$

○:パワーデバイスとして広く使われているレベル ○:使い始められるレベル △:研究報告はあるがまだ使えないレベル ×:使い物にならないレベル

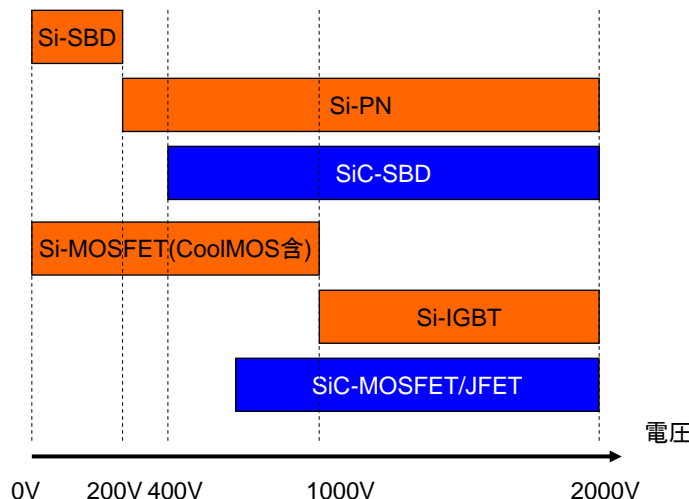
四戸, 「SiCパワーデバイス」, 東芝レビュー, vol.59, no.2, pp.49-53, 2004.

2008/11/12

応用電力変換工学

16

パワーデバイスの適用領域



2008/11/12

応用電力変換工学

17

ダイオードの高性能化

- 高耐圧化
 - 他デバイスの高耐圧化に対応
 - ガードリングによる電界緩和
- 導通損失の低減
 - 高耐圧化とのトレードオフ
 - ガードリングの有効利用
- スイッチング損失の低減
 - 逆回復電流の低減
 - 多数キャリアデバイス化
 - 寄生インダクタンスとの共振
- 低ノイズ化
 - 急峻なdv/dtによるノイズ
 - ソフトリカバリー化

2008/11/12

応用電力変換工学

18

ダイオードの高耐圧化 ハイブリッド構造

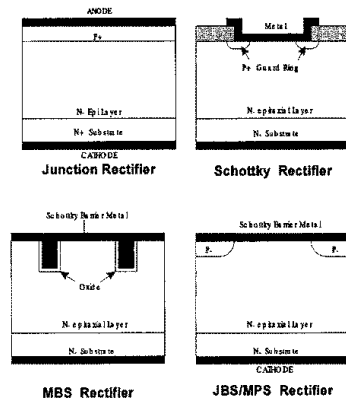


図4 SiCパワーダイオードの模式断面図
Fig. 4 Schematic cross-sections of SiC power rectifiers.
FEDジャーナルVol.11, No2, p107, 2000年.

2008/11/12

応用電力変換工学

- PN接合ダイオード
 - ワイドバンドギャップ半導体
 - GaNは拡散長短い
 - 伝導度変調難しい
- ショットキーバリアダイオード
 - 高耐圧化により抵抗増大
 - ハイブリッド構造化
 - 接合障壁ショットキー (JBS)・PiN/ショットキーミックス(MPS)ダイオード
 - MOS障壁ショットキー (MBS)ダイオード

19

MPS/JBSショットキーダイオード

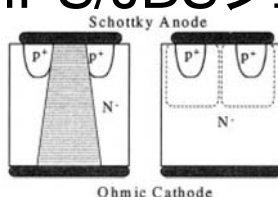
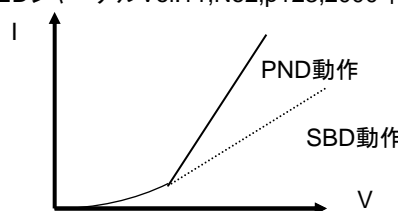


図3 MPSダイオードの正方向オン状態電流はショットキーフィルムを通じて流れ(左)、逆方向漏れ電流は隣接するp+グリッドからの空乏層によって制限される(右)。
Fig. 3 MPS diode forward on-state current flows through the Schottky anode (left), while reverse leakage current is limited by depletion from adjacent p+ grids (right).

FEDジャーナルVol.11, No2, p123, 2000年.



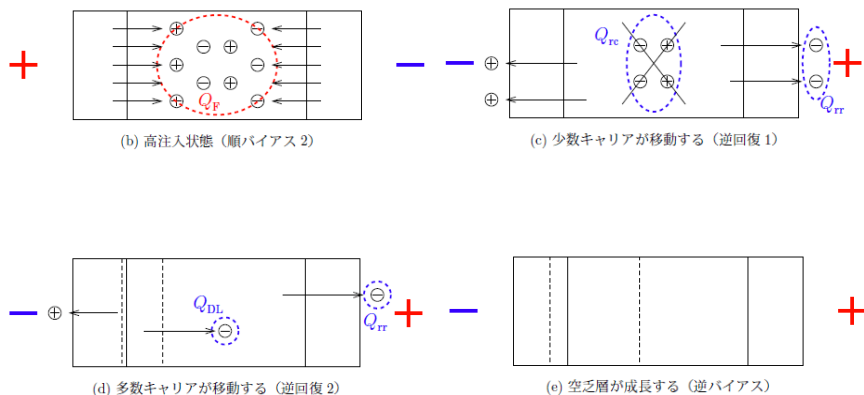
2008/11/12

応用電力変換工学

- MPS構造
 - ショットキ領域
 - P+注入領域
- オン電圧
 - ドリフト層抵抗
 - ショットキ障壁高さ
 - p+領域の面積比
 - 電圧降下が増大した場合p+領域がpn接合として動作
- 逆バイアス条件
 - P+注入領域から空乏層が伸展する
 - ショットキ領域の漏れ電流を制限
 - 高温動作時の漏れ電流制限に効果的

20

PN接合ダイオードの逆回復現象

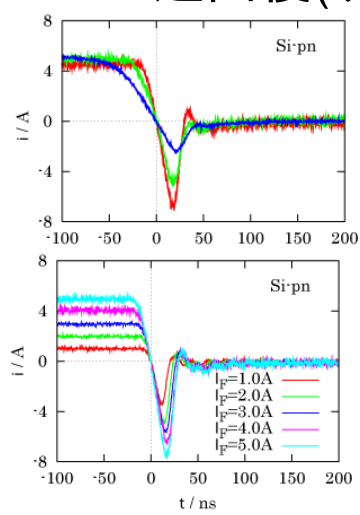


2008/11/12

応用電力変換工学

21

PNダイオードの逆回復(リカバリー)特性



- ダイオードの逆回復現象
 - 順バイアス
 - n-層はキャリア注入により飽和する
 - 注入量はIFに比例
 - 逆バイアス電圧印加
 - 蓄積された過剰キャリアが接合部を基点として排出
 - 再結合でキャリアが消滅するまで流れる
 - di/dt と共に電流ピーク IrM , 電荷量 Qrr 増加する
 - 再結合電荷量が減少
 - IFに比例して Qrr が増加する

2008/11/12

応用電力変換工学

22

PNダイオードの ファスト・ソフトリカバリー

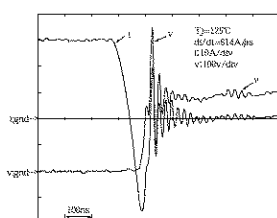


図4 当社従来品
FRD

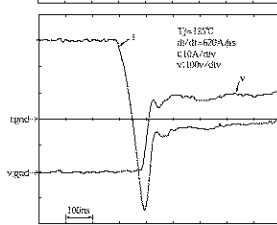


図5 開発品

日本インターNews,vol.26,no.2,pp.10-11,2000.

2008/11/12

応用電力変換工学

23

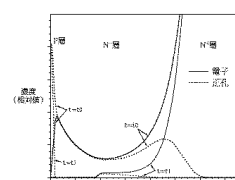
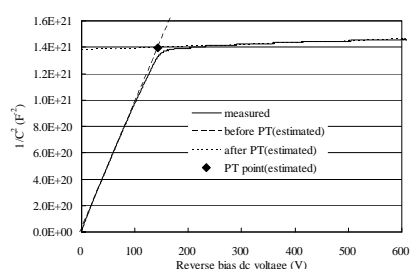


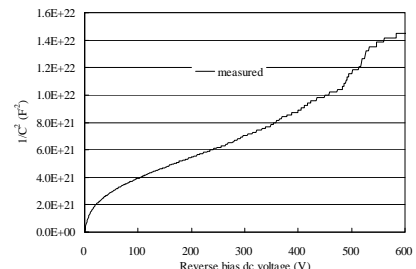
図3 逆回復動作でのダイオード内部のキャリア状態解析例

ダイオードの特性 端子間容量

1/C² - V 特性



SiC SBD パンチスルータイプ



Si PiN 非パンチスルータイプ

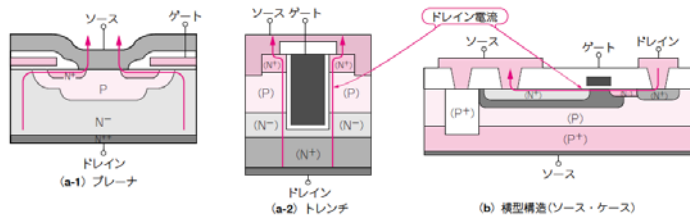
2008/11/12

応用電力変換工学

24

パワーMOSFETの高性能化 縦型構造と横型構造素子

1セルの構造



(a) 縦型構造(ドレイン・ケース)

図2-2 パワーMOSFETの構造による分類

表2-1 パワーMOSFETの構造とその特徴を活かした応用例

CQ出版トランジスタ技術2004/8

縦横構造の比較

構造 区分	縦型構造		横型構造	
	低耐圧(100V以下) ブレーナ	高耐圧 (ブレーナ) トレンチ	低耐圧	高耐圧
高耐圧化	—	—	○	△
低ON抵抗化	○	○	△	×
低 C_{oss} (低 Q_g)	○	○	○	○
低 C_{oss} (低 Q_{gtr})	○	○	○	○
特徴	高耐圧、大電流、低ON抵抗		高速、高周波特性	
応用分野、用途など	<ul style="list-style-type: none"> DC-DCコンバータ 小型モータ駆動 自動車電装機器 		<ul style="list-style-type: none"> AC-DCスイッチング電源 UPS電源 インバータ 	
			<ul style="list-style-type: none"> RFアンプ出力(携帯電話) (数百MHz～数GHz) 高周波電力増幅 (基地局放送機器など) 	

2008/11/12

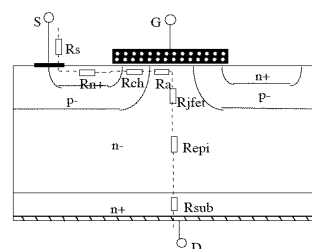
応用電力変換工学

25

パワーMOSFETの高性能化

• 低抵抗化

- 高耐圧素子(100V～)
 - エピタキシャル抵抗低減
 - 超接合構造
- 低耐圧素子(～100V)
 - チャネル抵抗低減
 - 微細プロセス化
 - » チャネル面積増大
 - JFET抵抗低減
 - トレンチゲート構造
 - » JFET領域消滅
 - エピタキシャル抵抗低減



	VDS = 30 V	VDS = 600 V
Rs	7 %	0.5 %
Rn+	6 %	0.5 %
Rch	28 %	1.5 %
Ra	23 %	0.5 %
Rjfer, Repi	29 %	96.5 %
Rsub	7 %	0.5 %

図3. パワーMOSFETのオン抵抗成分比率

菅井,新電元Password Vol.02-16,p.2,2002.

2008/11/12

応用電力変換工学

26

パワーMOSFETの高性能化 プロセス微細化

- サイリスタ, バイポーラトランジスタ
 - 微細化の要求小
- MOSゲートデバイス
 - 微細化によるチャネル抵抗低減
 - LSIと同等のプロセス・クリーンルームで製造

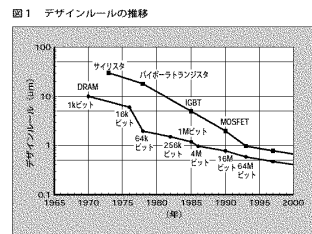
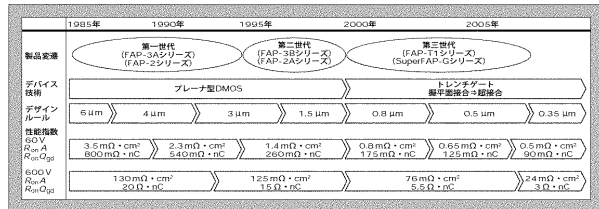


図1 デザインルールの推移



富士時報
Vol.74, No.2,
p.103, 2001.

富士時報
Vol.77, No.5,
p.309, 2004.

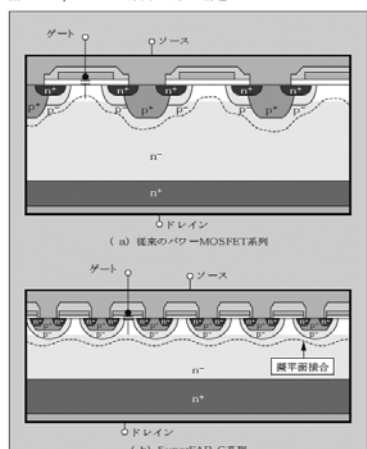
2008/11/12

応用電力変換工学

27

パワーMOSFETの高性能化 擬平面接合(QPJ: quasi plane junction)

図8 SuperFAP-G系列のナップ構造



富士時報 Vol.79, No.5, p.380, 2006.

2008/11/12

応用電力変換工学

- 通常セル構造
 - 三次元的な凹凸
 - 高濃度で深いp+ウェル
 - 電界の局所集中
 - 理論限界の80%耐圧
- 擬平面接合
 - 平面に近い接合
 - 低濃度で浅いp-ウェル
 - 稠密配置
 - 電界分布を一様化
 - 耐圧向上
 - QgdとRdsのトレードオフ改善
 - 短い電流経路

28

パワーMOSFETの高性能化 超接合構造

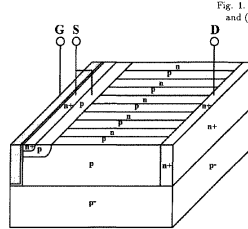
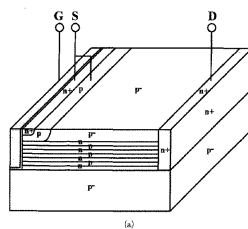
- 耐圧を保持するエピタキシャル層の抵抗が支配的
 - 微細加工によるオン抵抗低減の限界
- エピタキシャル層(Nドリフト層)にP型柱を形成
 - 埋め込み拡散とエピタキシャル成長の繰り返し
 - 阻止時にp層電荷とn層電荷をバランスさせ完全空乏化し、耐圧を得る
 - Nドリフト層の微細化により不純物濃度を上げれる
 - 低抵抗化が可能
 - 接合数に反比例してオン抵抗が下がる

2008/11/12

応用電力変換工学

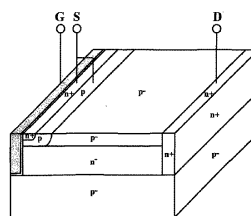
29

パワーMOSFETの高性能化 超接合構造



T. Fujihira, JJAP Vol.36, Pt.1,
No.10, 1997, pp. 6255.

- **横型構造**
- **Nチャネル**
- **トレンチゲート**

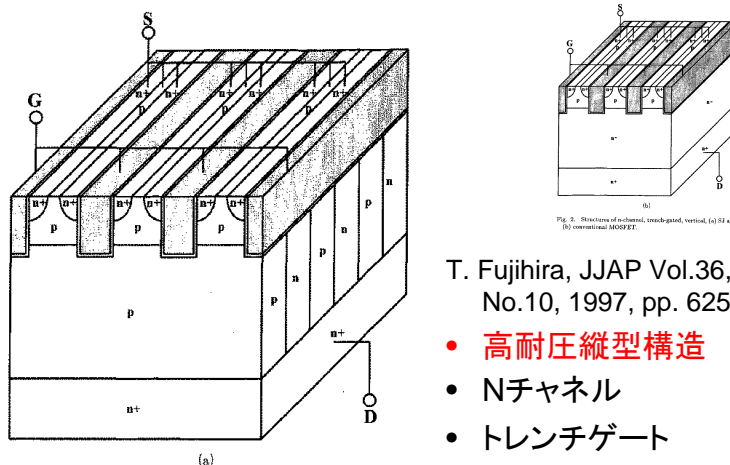


2008/11/12

応用電力変換工学

30

パワーMOSFETの高性能化 超接合構造



T. Fujihira, JJAP Vol.36, Pt.1, No.10, 1997, pp. 6255.

- 高耐圧縦型構造
- Nチャネル
- トレンチゲート

2008/11/12

応用電力変換工学

31

パワーMOSFETの高性能化 超接合構造の最適化

• 超接合構造断面最適化

– 横断面

- (a) 積層構造
- (b) 六角形構造
- (c) 四角形構造
- (d) 市松模様構造

– 最適電界分布

- 縦方向=横方向電界
- 積層構造は電荷補償効果が1D
- (b)-(d)は2Dで電荷補償効果有り
 - (b)が最適

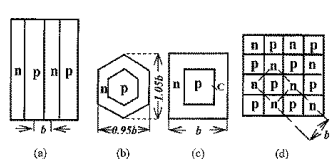


Fig. 2. Different design patterns of the CB-structure. (a) Interdigitated layout. (b) Hexagonal layout. (c) Square layout. (d) Lattice layout.

X. Chen, et.al., "Optimization of the Specific On-Resistance of the COOLMOS™", IEEE ED, Vol.48, No.2, pp.344-348, 2001.

2008/11/12

応用電力変換工学

32

パワーMOSFETの高性能化 超接合構造の最適化

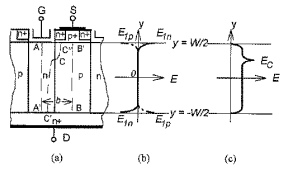


Fig. 1. Schematic cross-sectional view of an RMOST using the CB-structure concept, and the corresponding field profiles: (a) The structure; (b) field profiles of E_1 along AA' (solid-curve) and along BB' (dashed curve); (c) field profile along a field line passing through point C.

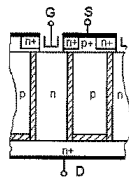


Fig. 3. A thin oxide layer between the n- and p-region of the RMOST (shaded area represents the oxide).

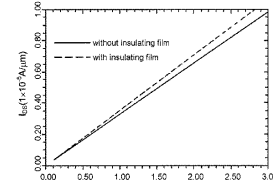


Fig. 4. Simulated J-V characteristics of two 1 KV RMOSTs at $V_G = 30$ V with (0.5 μ m) and without the insulating film.

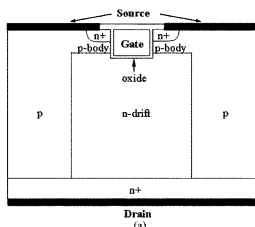
- P柱とN層の間に酸化膜を挿入
 - 酸化膜を介して超接合構造が動作
 - R_{on} 低下
 - N領域上部, P領域底部の不純物濃度を下げて耐圧を上昇させるのと同等の効果

X. Chen, et.al., "Optimization of the Specific On-Resistance of the COOLMOS™"
IEEE ED, Vol.48, No.2, pp.344-348, 2001.
2008/11/12

応用電力変換工学

33

パワーMOSFETの高性能化 超接合構造 v.s. Oxide bypass構造



- Y.Chen et.al., IEEE PELS, Vol.22, No.4, pp.1303-1310.(2007)

- 超接合構造はp領域の不純物濃度を一様に制御するのが難しい
- 酸化物バイパス(OB)構造

- P柱の変わりに酸化膜使用
- 傾斜構造として電界分布最適化

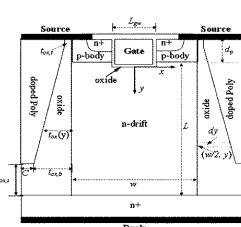
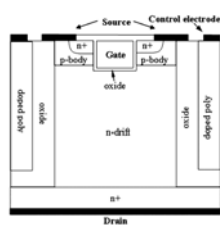


Fig. 1. Trench gate power NMOS with drift region as: (a) p-n column SJ structure, (b) OB structure, (c) GOB structure.

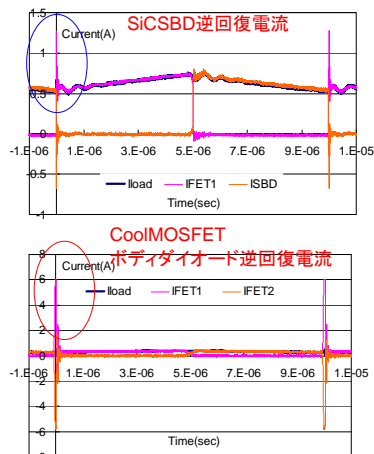
2008/11/12

応用電力変換工学

34

パワーMOSFETの高性能化 超接合構造のボディダイオード

- 超接合構造の問題
 - ドレイン-ソース間のpn接合面積が莫大
 - Cds大
 - ボディダイオードの逆回復時間が長い
 - Cool MOSFETとSiC SBDの組み合わせ
 - Z. Liang, et.al., "Integrated CoolMOS FET/SiC-diode module for high performance power switching" IEEE PELS, Vol.20, No.3,679-686, 2005.



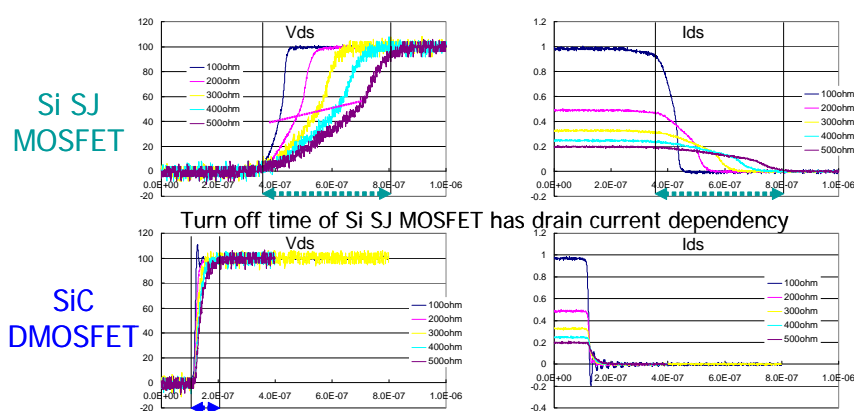
2008/11/12

応用電力変換工学

35

パワーMOSFETの高性能化 超接合構造の接合容量

Cdsの影響

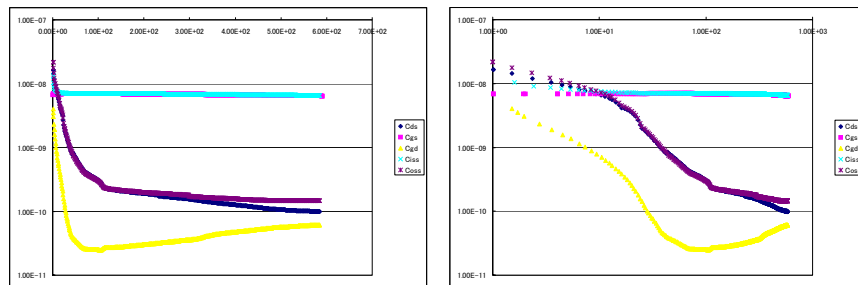


2008/11/12

応用電力変換工学

36

パワーMOSFETの高性能化 CoolMOSFETの端子間接合容量



片対数表示

両対数表示

2008/11/12

応用電力変換工学

37

パワーMOSFETの高性能化 トレンチ構造

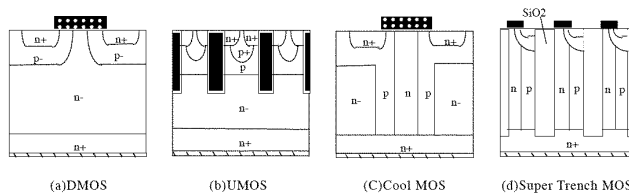


図2. パワーMOSFETの各種構造
菅井,新電元Password Vol.02-16,p.2,2002.

- トレンチMOS=UMOS
- チャネルが縦方向に形成される
 - 横チャネル時のJFET領域部がなくなる
- ゲート電極がドリフト層と対向する面積を小さくする
 - C_{gd} が低下する
 - ミラー(Miller)効果が小さくなる
 - ゲート駆動損失が小さくなる

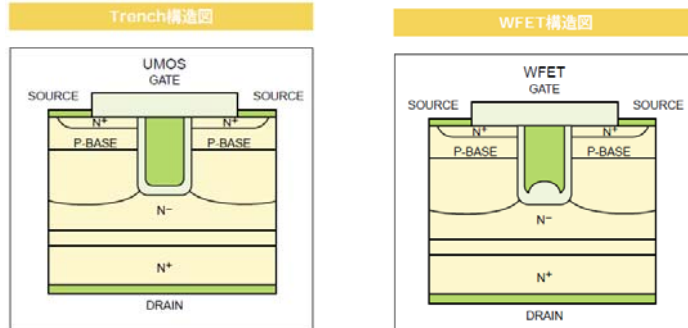
2008/11/12

応用電力変換工学

38

パワーMOSFETの高性能化 トレンチ構造

VISHAY
Siliconix社
HPより



- WFET

- トレンチの底に厚いゲート酸化膜
- オン抵抗への影響小
- C_{rss} を3分の2削減

- パワーMOSFET遮断周波数

$$f_c \cong \frac{1}{2\pi R_g \{C_{gs} + (1 - A_0)C_{gd}\}}$$

2008/11/12

応用電力変換工学

39

パワーMOSFETの高性能化 抵抗と耐圧

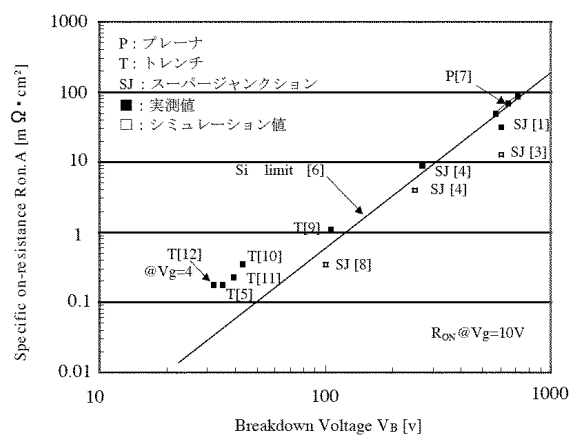


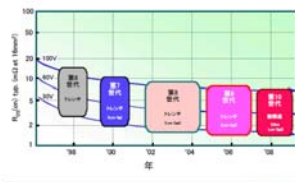
図4. パワーMOSFETのRonと耐圧

2008/11/12

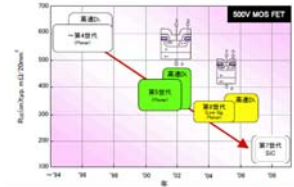
菅井,新電元Password Vol.02-16,p.3,2002.
応用電力変換工学 40

パワーMOSFETの高性能化

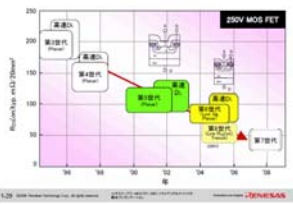
低耐圧パワーMOS FETのオン抵抗性能トレンド



高耐圧パワーMOS FETのオン抵抗性能トレンド



中耐圧パワーMOS FETのオン抵抗性能トレンド



- Power MOSFETの性能指標(FOM)

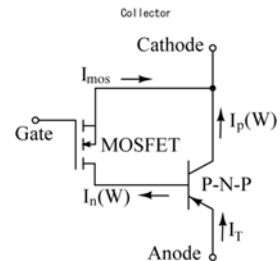
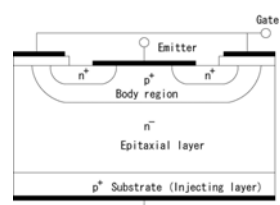
- $R_{on} \cdot Q_{gd}$
- オン抵抗と高速性を示したパラメータで、オン抵抗($R_{DS(on)}$)とゲート・ドレイン電荷量(Q_{gd})の積。
- ゲート・ドレイン間容量を充放電する電荷量。スイッチング時間に相当。

2008/11/12

応用電力変換工学

41

IGBT (Insulated gate bipolar transistor)



- 高耐圧大電流用
(MOSFETに比べて)

- 導通時

- コレクタ側p+層よりn-層へ少数キャリア注入
- 抵抗低減

- ターンオフ時間とオン電圧のトレードオフ

- ターンオフ時間は注入キャリアの消滅に依存
 - ライフタイム制御
 - オン電圧の上昇

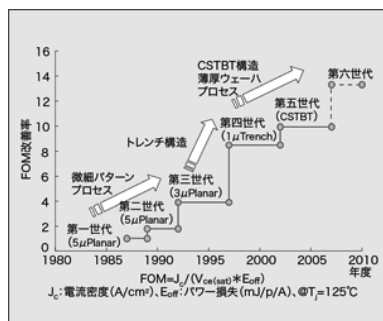
2008/11/12

応用電力変換工学

42

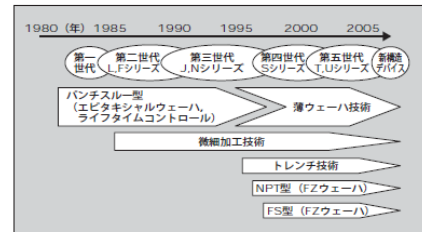
IGBTの進化

三菱電機(三菱電機技報Vol.81 No.5,2007)



富士電機(富士時報Vol75, No.10,2002)

図1 富士電機製 IGBT の適用技術の推移



ターンオフ時間とオン電圧のトレードオフの改善

- セルピッチの縮小
- トレンチゲート構造の採用
- ライフタイム制御

- ライフタイム制御の改善
 - 従来 電子線照射による均一制御
 - 新技術 荷電粒子照射による局所制御(プロトン, ヘリウム)

2008/11/12

応用電力変換工学

43

IGBTの進化

- ライフタイム制御による性能向上
 - ライフタイム制御タイプ
 - 高注入、低輸送効率
 - 非ライフタイム制御タイプ
 - 注入効率を抑える
 - コレクタからのキャリア注入抑制(注入効率の抑制)
 - キャリアの輸送効率向上
 - » オン電圧上昇を抑制
- 構造による進化
 - パンチスルーライフタイム制御
 - エピタキシャルウェーハ
 - ライフタイム制御
 - 非パンチスルーライフタイム制御
 - 空乏層がコレクタに到達しないようドリフト層厚い
 - FS (field stop)構造
 - N+バッファ層→FS層
 - ベース部を薄くする
 - 導通時の過剰キャリア少ない
 - 空乏層が伸びた状態での中性領域が少ないのでターンオフ損失少ない

2008/11/12

応用電力変換工学

44

IGBTの進化

- キャリア分布の改善

- CSTBT (carrier stored trench-gate bipolar transistor)
- IEGT (injection enhanced insulated gate bipolar transistor)
- HiGT (high-conductivity IGBT)

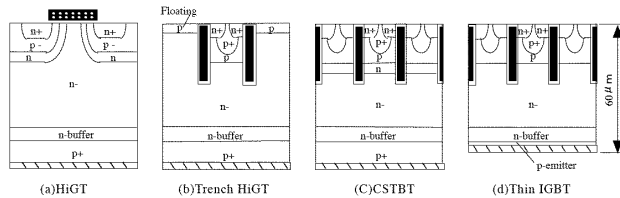
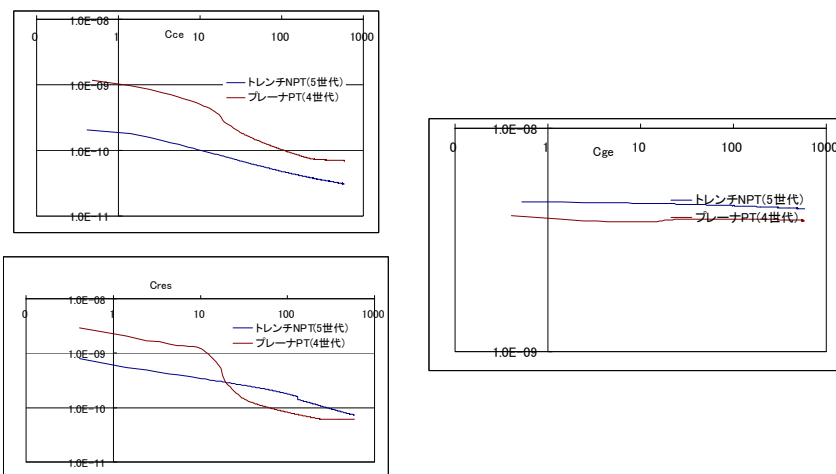


図5. IGBTの各種構造 菅井,新電元Password Vol.02-16,p.4,2002.
応用電力変換工学 45

2008/11/12

IGBTの進化 端子間容量



2008/11/12

応用電力変換工学

46

高耐圧デバイスとソフトスイッチング

- 高耐圧IGBTのソフトスイッチングへの適合性
 - Fujii et.al. "Characterization and comparison of High Blocking Voltage IGBTs and IEGTs Under Hard and Soft switching conditions", IEEE Trans. PELS, vol.23,no.1, pp.172-178 (2008)
 - 送配電機器における素子の直列接続数の低減
 - 耐圧(順方向電圧降下)とスイッチング損失のトレードオフ
 - FS (Field Stop), SPT (Soft punch through), IEGT (Injection enhanced gate transistor)
 - 高電圧機器ではハードスイッチングが一般的
 - ソフトスイッチングにおけるスイッチングデバイスの振る舞いは?
» ZVS動作への影響

2008/11/12

応用電力変換工学

47

高耐圧IGBTの構造

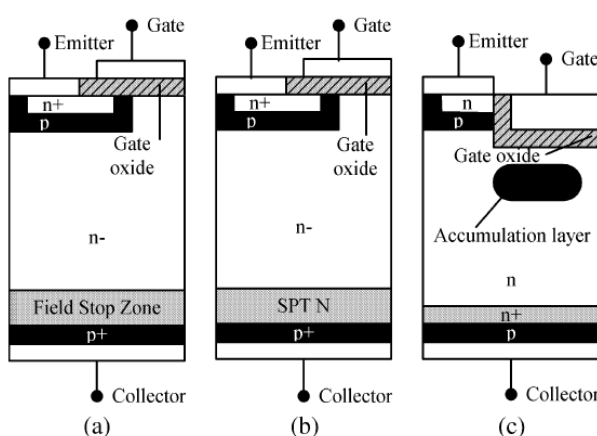


Fig. 1. Device structure. (a) FS-IGBT. (b) SPT-IGBT. (c) IEGT.

出典 Fujii et.al. ,IEEE Trans. PELS, vol.23,no.1, pp.172-178 (2008)

2008/11/12

応用電力変換工学

48

高耐圧IGBTでの ハード・ソフトスイッチング波形

ハードスイッチング波形

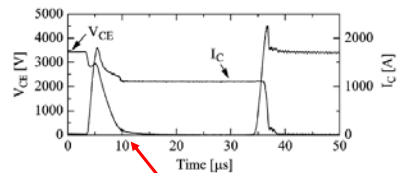


Fig. 5. Waveforms of the 6.5-kV SPT-IGBT under hard-switching conditions.
テール電流

ソフトスイッチング波形

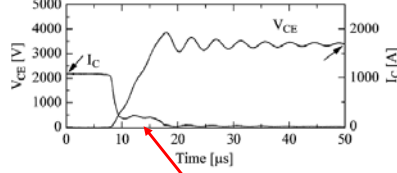


Fig. 10. Waveforms of the 6.5-kV SPT-IGBT under soft-switching conditions
($C_{r1}, C_{r2} = 1 \mu\text{F}$).
テール電流

- ソフトスイッチングのターンオフ損失はテール電流に依存する
 - テール電流はターンオフ後の dv/dt に依存する
 - ハードスイッチングは dv/dt が大きいのでテール電流が短くなる

出典 Fujii et.al. ,IEEE Trans. PELS, vol.23,no.1, pp.172-178 (2008)

2008/11/12

応用電力変換工学

49

高耐圧IGBTのソフトスイッチング損失

順方向電圧とスイッチング損失

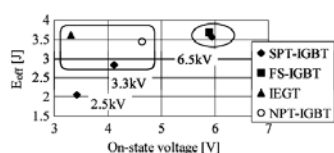


Fig. 14. On-state voltage and turn-off energy of IGBTs at nominal voltage, current and 120 °C.

ZVS用コンデンサとスイッチング損失

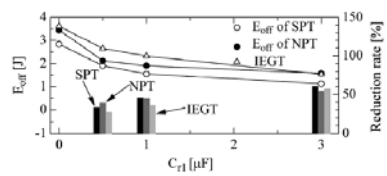


Fig. 15. Turn-off energy of 3.3-kV devices at 1800 V, 1200 A, and 120 °C.

- IEGTは順方向電圧降下が小さい
 - Nベース部に電荷(電子)を蓄積する
 - テール電流が長くなる
 - スイッチング(ターンオフ)損失が大きい
- 高電圧素子ほどZVS化の効果が大きい

出典 Fujii et.al. ,IEEE Trans. PELS, vol.23,no.1, pp.172-178 (2008)

2008/11/12

応用電力変換工学

50

RoHS指令 鉛フリー化

- Restriction of Hazardous Substances(危険物質に関する制限)
- 電子・電気機器における特定有害物質の使用制限についての欧州連合(EU)による指令
- 鉛 : 1,000ppm以下
 - 適用免除 高温溶接タイプの鉛はんだ
 - パワーデバイスのダイボンド
- 鉛フリーはんだ
 - 溶融温度が高い(数十度)素子の熱破壊や劣化
 - ウィスカ―(針状の金属結晶)が発生による端子間のショート

2008/11/12

応用電力変換工学

51

おわりに

- アプリケーションに応じたデバイス選定
 - 電圧
 - 電流
 - 速度
 - 動作温度
- 素子特性を考慮した回路設計
 - ハードスイッチング
 - ソフトスイッチング
- 素子特性を支配する要素
 - 材料
 - Si etc.....
 - 基本動作
 - ユニポーラ
 - バイポーラ
 - ドリフト層構造
 - 縦型
 - 横型
 - ゲート構造
 - プレーナー
 - トレンチ
 - パッケージング

デバイス開発はつづくよ何処までも…
回路開発に応じて

2008/11/12

応用電力変換工学

52